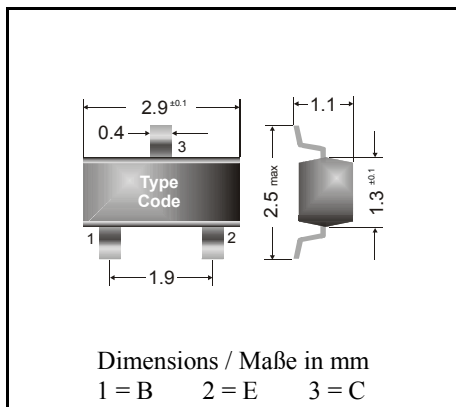


NPN

**Surface mount Si-Epitaxial Planar Transistors**  
**Si-Epitaxial Planar Transistoren für die Oberflächenmontage**

NPN



Power dissipation – Verlustleistung 250 mW

Plastic case SOT-23  
Kunststoffgehäuse (TO-236)

Weight approx. – Gewicht ca. 0.01 g

Plastic material has UL classification 94V-0  
Gehäusematerial UL94V-0 klassifiziertStandard packaging taped and reeled  
Standard Lieferform gegurtet auf Rolle**Maximum ratings ( $T_A = 25^\circ\text{C}$ )****Grenzwerte ( $T_A = 25^\circ\text{C}$ )**

			<b>BSR 17A</b>
Collector-Emitter-voltage	B open	$V_{CE0}$	40 V
Collector-Base-voltage	E open	$V_{CB0}$	60 V
Emitter-Base-voltage	C open	$V_{EB0}$	6 V
Power dissipation – Verlustleistung		$P_{tot}$	250 mW <sup>1)</sup>
Collector current – Kollektorstrom (dc)		$I_C$	100 mA
Peak Collector current – Kollektor-Spitzenstrom		$I_{CM}$	200 mA
Peak Base current – Basis-Spitzenstrom		$I_{BM}$	100 mA
Junction temp. – Sperrschichttemperatur		$T_j$	150 °C
Storage temperature – Lagerungstemperatur		$T_S$	- 65...+ 150 °C

**Characteristics ( $T_j = 25^\circ\text{C}$ )****Kennwerte ( $T_j = 25^\circ\text{C}$ )**

		<b>Min.</b>	<b>Typ.</b>	<b>Max.</b>
Collector-Base cutoff current – Kollektorreststrom				
$I_E = 0, V_{CB} = 30\text{ V}$	$I_{CB0}$	–	–	50 nA
$I_E = 0, V_{CB} = 30\text{ V}, T_j = 150^\circ\text{C}$	$I_{CB0}$	–	–	5 $\mu\text{A}$
Emitter-Base cutoff current – Emittorreststrom				
$I_C = 0, V_{EB} = 6\text{ V}$	$I_{EB0}$	–	–	30 nA
Collector saturation volt. – Kollektor-Sättigungssp. <sup>1)</sup>				
$I_C = 10\text{ mA}, I_B = 1\text{ mA}$	$V_{CEsat}$	–	–	200 mV
$I_C = 50\text{ mA}, I_B = 5\text{ mA}$	$V_{CEsat}$	–	–	200 mV

<sup>1)</sup> Mounted on P.C. board with 3 mm<sup>2</sup> copper pad at each terminal  
 Montage auf Leiterplatte mit 3 mm<sup>2</sup> Kupferbelag (Löt-pad) an jedem Anschluß

Characteristics ( $T_j = 25^\circ\text{C}$ )Kennwerte ( $T_j = 25^\circ\text{C}$ )

		Min.	Typ.	Max.
Base saturation voltage – Basis-Sättigungsspannung <sup>1)</sup>				
$I_C = 10\text{ mA}, I_B = 1\text{ mA}$	$V_{BEsat}$	650 mV	–	850 mV
$I_C = 50\text{ mA}, I_B = 5\text{ mA}$	$V_{BEsat}$	–	–	950 mV
DC current gain – Kollektor-Basis-Stromverhältnis <sup>1)</sup>				
$V_{CE} = 1\text{ V}, I_C = 0.1\text{ mA}$	$h_{FE}$	60	–	–
$V_{CE} = 1\text{ V}, I_C = 1\text{ mA}$	$h_{FE}$	80	–	–
$V_{CE} = 1\text{ V}, I_C = 10\text{ mA}$	$h_{FE}$	100	–	300
$V_{CE} = 1\text{ V}, I_C = 50\text{ mA}$	$h_{FE}$	60	–	–
$V_{CE} = 1\text{ V}, I_C = 100\text{ mA}$	$h_{FE}$	30	–	–
Gain-Bandwidth Product – Transitfrequenz				
$V_{CE} = 20\text{ V}, I_C = 10\text{ mA}, f = 100\text{ MHz}$	$f_T$	300 MHz	–	–
Collector-Base Capacitance – Kollektor-Basis-Kapazität				
$V_{CB} = 5\text{ V}, I_E = i_c = 0, f = 1\text{ MHz}$	$C_{CB0}$	–	4 pF	–
Emitter-Base Capacitance – Emitter-Basis-Kapazität				
$V_{EB} = 0.5\text{ V}, I_C = i_c = 0, f = 1\text{ MHz}$	$C_{EB0}$	–	8 pF	–
Noise figure – Rauschzahl				
$V_{CE} = 5\text{ V}, I_C = 100\text{ }\mu\text{A}, R_s = 1\text{ k}\Omega,$ $f = 10\text{ Hz} \dots 15.7\text{ kHz}$	F	–	–	5 dB
Switching times – Schaltzeiten				
turn-on time	$t_{on}$	–	–	65 ns
delay time	$t_d$	–	–	35 ns
rise time	$t_r$	–	–	35 ns
turn-off time	$t_{off}$	–	–	240 ns
storage time	$t_s$	–	–	200 ns
fall time	$t_f$	–	–	50 ns
Thermal resistance junction to ambient air Wärmewiderstand Sperrschicht – umgebende Luft		$R_{thA}$	420 K/W <sup>2)</sup>	
Recommended complementary PNP transistors Empfohlene komplementäre PNP-Transistoren			BSR 18A	
Marking - Stempelung			BSR 17A = U92	

<sup>1)</sup> Tested with pulses  $t_p = 300\text{ }\mu\text{s}$ , duty cycle  $\leq 2\%$  – Gemessen mit Impulsen  $t_p = 300\text{ }\mu\text{s}$ , Schaltverhältnis  $\leq 2\%$

<sup>2)</sup> Mounted on P.C. board with  $3\text{ mm}^2$  copper pad at each terminal  
Montage auf Leiterplatte mit  $3\text{ mm}^2$  Kupferbelag (Lötpad) an jedem Anschluß